

S RTP-量子计算基础

2023 年 6 月 8 日

目录

1. 量子计算理论
2. 量子优化算法
3. 变分量子算法

量子计算背景

- 经典计算的特性

- n 位寄存器只能同时表示 2^n 个数中的一个
- 电路具有较好的稳定性

- 经典计算的挑战

- 芯片尺寸逼近物理极限，性能提升较小
- 数据量增大，并行计算能耗增大

- 量子计算的特性

- 叠加态具备高效编码性，计算并行性
- 观测后量子态依概率坍陷至经典态

- 量子计算的挑战

- 量子算法设计难度较高
- 量子设备的不稳定性，可操作的量子比特数少

量子计算理论

单量子比特

- $|0\rangle, |1\rangle \rightarrow$ 基态
- $|\psi\rangle = \alpha|0\rangle + \beta|1\rangle, \alpha, \beta \in \mathbb{C}, |\alpha|^2 + |\beta|^2 = 1$
- $|0\rangle = \begin{pmatrix} 1 \\ 0 \end{pmatrix}, |1\rangle = \begin{pmatrix} 0 \\ 1 \end{pmatrix}, |\psi\rangle = \begin{pmatrix} \alpha \\ \beta \end{pmatrix}$
- $\langle\psi| = |\psi\rangle^\dagger = \alpha^* \langle 0| + \beta^* \langle 1| = (\alpha^* \quad \beta^*)$
- $\langle\psi_1|\psi_2\rangle = (\alpha_1^* \langle 0| + \beta_1^* \langle 1|)(\alpha_2|0\rangle + \beta_2|1\rangle) = \alpha_1^* \alpha_2 + \beta_1^* \beta_2$

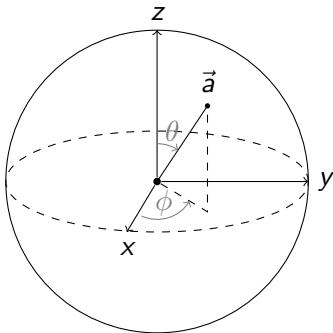
单量子比特门

- $U^\dagger U = UU^\dagger = I, U \in \mathbb{C}^{2 \times 2}$
- $H = \frac{1}{\sqrt{2}} \begin{pmatrix} 1 & 1 \\ 1 & -1 \end{pmatrix}, H|0\rangle = \frac{1}{\sqrt{2}}(|0\rangle + |1\rangle) = |+\rangle, H|1\rangle = \frac{1}{\sqrt{2}}(|0\rangle - |1\rangle) = |-\rangle$
- $X = \begin{pmatrix} 0 & 1 \\ 1 & 0 \end{pmatrix}, Y = \begin{pmatrix} 0 & -i \\ i & 0 \end{pmatrix}, Z = \begin{pmatrix} 1 & 0 \\ 0 & -1 \end{pmatrix} \rightarrow$ 泡利矩阵

量子计算理论

布洛赫球面 (Bloch Sphere)

- 量子态全局相位可以忽略
- $|\psi\rangle = e^{-i\alpha_1} (\cos \frac{\theta}{2} e^{i\alpha_1} |0\rangle + \sin \frac{\theta}{2} e^{i\alpha_2} |1\rangle) = \cos \frac{\theta}{2} |0\rangle + \sin \frac{\theta}{2} e^{i\phi} |1\rangle$
- $R_X(\theta) = e^{-i\frac{\theta}{2} X} = \begin{pmatrix} \cos \frac{\theta}{2} & -i \sin \frac{\theta}{2} \\ -i \sin \frac{\theta}{2} & \cos \frac{\theta}{2} \end{pmatrix}, R_Y(\theta) = e^{-i\frac{\theta}{2} Y} = \begin{pmatrix} \cos \frac{\theta}{2} & -\sin \frac{\theta}{2} \\ \sin \frac{\theta}{2} & \cos \frac{\theta}{2} \end{pmatrix}, R_Z(\theta) = e^{-i\frac{\theta}{2} Z} = \begin{pmatrix} 1 & 0 \\ 0 & e^{i\theta} \end{pmatrix}$
- $U(\theta, \phi, \lambda) = \begin{pmatrix} \cos \frac{\theta}{2} & -e^{i\lambda} \sin \frac{\theta}{2} \\ e^{i\phi} \sin \frac{\theta}{2} & e^{i(\phi+\lambda)} \cos \frac{\theta}{2} \end{pmatrix}$



量子计算理论

双量子比特

- 张量积:

$$|0\rangle \otimes |0\rangle \rightarrow |00\rangle = \begin{pmatrix} 1 \cdot \begin{pmatrix} 1 \\ 0 \end{pmatrix} \\ 0 \cdot \begin{pmatrix} 1 \\ 0 \end{pmatrix} \end{pmatrix} = \begin{pmatrix} 1 \\ 0 \\ 0 \\ 0 \end{pmatrix}$$

- $|00\rangle, |01\rangle, |10\rangle, |11\rangle$ 或 $|0\rangle, |1\rangle, |2\rangle, |3\rangle \rightarrow$ 基态
- $(\langle\psi_1| \otimes \langle\psi_2|)(|\phi_1\rangle \otimes |\phi_2\rangle) = \langle\psi_1|\phi_1\rangle \langle\psi_2|\phi_2\rangle$

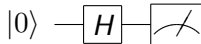
双量子比特门

- $(U_1 \otimes U_2)(|\psi_1\rangle \otimes |\psi_2\rangle) = (U_1 |\psi_1\rangle) \otimes (U_2 |\psi_2\rangle)$
- $CNOT = \begin{pmatrix} 1 & 0 & 0 & 0 \\ 0 & 1 & 0 & 0 \\ 0 & 0 & 0 & 1 \\ 0 & 0 & 1 & 0 \end{pmatrix}$
- $CNOT|00\rangle = |00\rangle, CNOT|01\rangle = |01\rangle, CNOT|10\rangle = |1\bar{1}\rangle, CNOT|11\rangle = |1\bar{0}\rangle$

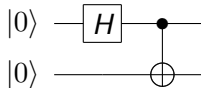
量子计算理论

量子线路

- 组成：初始量子态 + 量子门 + 观测
- 非纠缠态：可以写作张量积形式， $\frac{1}{\sqrt{2}}(|00\rangle + |10\rangle) = [\frac{1}{\sqrt{2}}(|0\rangle + |1\rangle)] \otimes |0\rangle$
- 纠缠态：不可以写作张量积形式， $\frac{1}{\sqrt{2}}(|00\rangle + |11\rangle)$
- 对量子比特观测只能得到一个值，概率幅通过“频率近似概率”获得



- $|\psi\rangle = H|0\rangle = \frac{1}{\sqrt{2}}(|0\rangle + |1\rangle)$



-

$$\begin{aligned} |\psi\rangle &= CNOT(H \otimes I)(|0\rangle \otimes |0\rangle) \\ &= CNOT\left(\frac{1}{\sqrt{2}}(|00\rangle + |10\rangle)\right) \\ &= \frac{1}{\sqrt{2}}(|00\rangle + |11\rangle) \end{aligned}$$

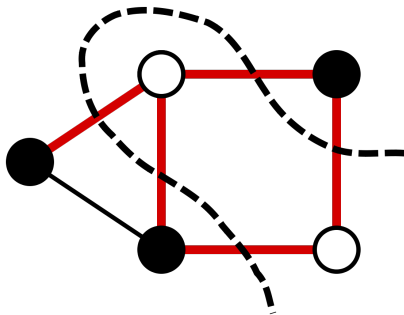
量子优化算法

优化问题示例-Max Cut

- 顶点 $\rightarrow z_i, i = 0, \dots, n-1$; 集合 1 取值为 $+1$, 集合 2 取值为 -1
- 切割边 $\rightarrow z_i z_j = -1$, 非切割边 $\rightarrow z_k z_l = 1$
-

最小化 $\sum_{(j,k) \in E} z_j z_k$

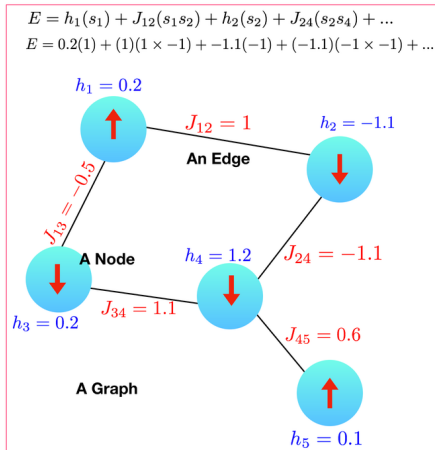
约束条件 $z_j \in \{-1, 1\}, j = 0, \dots, n-1$



量子优化算法

伊辛模型 (Ising Model)

- 自旋粒子的铁磁相互作用 → 寻找系统的最小能量状态
- 自旋向上 → $z_j = 1$, 自旋向下 → $z_j = -1$
- 能量由哈密顿量 (Hamiltonian) 表征
→ $H = -\sum_{j,k} J_{jk} z_j z_k - \sum_j h_j z_j$



量子优化算法

优化问题的量子形式

- $\langle 0 | Z | 0 \rangle = 1, \langle 1 | Z | 1 \rangle = -1$
- $\langle 010 | Z \otimes Z \otimes I | 010 \rangle = 1 \cdot (-1) \cdot 1 = -1$
- $Z \otimes Z \otimes I \rightarrow Z_0 Z_1$
- 可行解 $x \in \{000, 001, \dots, 111\}$

- 最小化 $\left\langle x \left| \sum_{(j,k) \in E} Z_j Z_k \right| x \right\rangle$

- 考虑一般量子态

$$|\psi\rangle = \sum_x a_x |x\rangle, \quad \sum_x |a_x|^2 = 1$$

- 等价量子形式 \rightarrow 最小化

$$\left\langle \psi \left| \sum_{(j,k) \in E} Z_j Z_k \right| \psi \right\rangle$$

$$\begin{aligned} \left\langle \psi \left| \sum_{(j,k) \in E} Z_j Z_k \right| \psi \right\rangle &= \sum_{(j,k) \in E} \langle \psi | Z_j Z_k | \psi \rangle \\ &= \sum_{(j,k) \in E} \sum_x |a_x|^2 \langle x | Z_j Z_k | x \rangle \\ &= \sum_x |a_x|^2 \left\langle x \left| \sum_{(j,k) \in E} Z_j Z_k \right| x \right\rangle \\ &\geq \sum_x |a_x|^2 \left\langle x_{min} \left| \sum_{(j,k) \in E} Z_j Z_k \right| x_{min} \right\rangle \\ &= \left\langle x_{min} \left| \sum_{(j,k) \in E} Z_j Z_k \right| x_{min} \right\rangle \sum_x |a_x|^2 \\ &= \left\langle x_{min} \left| \sum_{(j,k) \in E} Z_j Z_k \right| x_{min} \right\rangle \end{aligned}$$

量子优化算法

QUBO 模型 (Quadratic Unconstrained Binary Optimization)

- 记 $q(x_0, x_1, \dots, x_m)$ 为关于 x_j 的二次多项式, $x_j \in \{0, 1\}$
- QUBO 形式:

最小化 $q(x_0, x_1, \dots, x_m)$

约束条件 $x_j \in \{0, 1\}, \quad j = 0, \dots, m$

模型转化

- 代换 $z_j = 1 - 2x_j$ 从 Ising 模型转化为 QUBO 模型

量子优化算法

绝热量子计算理论 (Adiabatic Quantum Computing)

- 时变薛定谔方程
$$H(t) |\psi(t)\rangle = i\hbar \frac{\partial}{\partial t} |\psi(t)\rangle$$
- **绝热演化**: 系统一直在基态之间演化, 不会跃迁到激发态, 因此只需要对演化后的系统观测就可以得到优化问题的可行解
- **绝热定理**: 演化时间与能级间隙的平方成反比
- 记 H_0 为初始哈密顿量, H_1 为优化问题编码的哈密顿量
- 在 $[0, T]$ 内考虑
$$H(t) = A(t)H_0 + B(t)H_1$$
, 选择 $A(t)$ 与 $B(t)$ 为实值函数且满足
$$A(0) = B(T) = 1, A(T) = B(0) = 0$$

量子优化算法

量子退火计算机

- 限制条件下的绝热量子计算：
 - 哈密顿量选择有限
 - 演化过程不保证绝热
- $H_0 = - \sum_{j=0}^{n-1} X_j, H_1 = - \sum_{j,k} J_{jk} z_j z_k - \sum_j h_j z_j$
- 只需要确保足够接近最优的解对应概率幅足够大即可
- 量子退火计算机规模一般较大, D-wave Advantage > 5000



量子优化算法

QAOA 模型 (Quantum Approximate Optimization Algorithm)

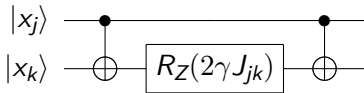
- 绝热量子计算 \rightarrow 量子线路模型
- 对哈密顿量演化离散化: $(\prod_{m=0}^p e^{i\Delta t[A(t_m)H_0+B(t_m)H_1]})|\psi_0\rangle$, 其中 $t_m = m\frac{\Delta t}{T}, p = \frac{T}{\Delta t}$
- **Lie-Trotter 公式**: 对于足够小的 Δt , 满足 $e^{i\Delta t[A(t_c)H_0+B(t_c)H_1]} = e^{i\Delta t A(t_c)H_0} e^{i\Delta t B(t_c)H_1}$
- 构建量子线路制备 $e^{i\beta_p H_0} e^{i\gamma_p H_1} \dots e^{i\beta_1 H_0} e^{i\gamma_1 H_1} |\psi_0\rangle$, 记为 $|\beta, \gamma\rangle$, 其中 $\beta = (\beta_1, \dots, \beta_p), \gamma = (\gamma_1, \dots, \gamma_p)$
- 如何找到最优的 $\beta, \gamma \rightarrow$ 最小化 $E(\beta, \gamma) = \langle \beta, \gamma | H_1 | \beta, \gamma \rangle$

量子优化算法

量子线路实现

- $H_0 = - \sum_{j=0}^{n-1} X_j$ 对应的基态为 $|+\rangle \otimes \dots \otimes |+\rangle$, 可以通过 Hadamard 门制备
- $e^{i\beta_k H_0} = \prod_{j=0}^{n-1} e^{-i\beta_k X_j} = R_X(2\beta)$
- $e^{i\gamma_l H_1} = e^{-i\gamma_l (\sum_{j,k} J_{jk} Z_j Z_k + \sum_j h_j Z_j)} = \prod_{j,k} e^{-i\gamma_l J_{jk} Z_j Z_k} \prod_j e^{-i\gamma_l h_j Z_j}$

- $e^{-i\gamma_l h_j Z_j} = R_Z(2\gamma h_j)$
- $e^{-i\gamma_l J_{jk} Z_j Z_k}$ 可用如下量子线路表示



量子优化算法

日期	阶段性任务
2023 年 7 月-2023 年 8 月	量子计算理论基础（量子线路模型、绝热量子计算模型）
2023 年 8 月-2023 年 9 月	Ocean 框架，D-Wave Leap 云平台的学习与应用
2023 年 9 月-2023 年 10 月	以 Max-Cut，旅行商等组合优化问题为例，探究在 Ising, QUBO 框架下量子优化算法与经典优化算法的复杂度等指标差异

变分量子算法背景

- 量子计算机的目标：大规模，容错
- 现阶段量子计算机的限制：
有噪中规模量子设备 (NISQ)，50-100 量子比特，对环境较敏感，具有 $10^{-3} - 10^{-2}$ 的误差率
- 应用限制：有限的量子比特数，量子比特之间的连接，量子线路的深度，
有希望体现“量子优越性”

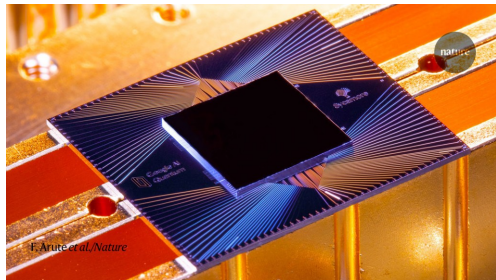


图: Google 的超导量子芯片，在 NISQ 上验证了“量子优越性”

变分量子算法背景

- 变分量子算法 (VQA):
 - 参数化量子线路 + 经典优化算法
 - 优势: 通用性, 适配 NISQ 物理限制
 - 挑战: 可训练性, 准确性, 高效性

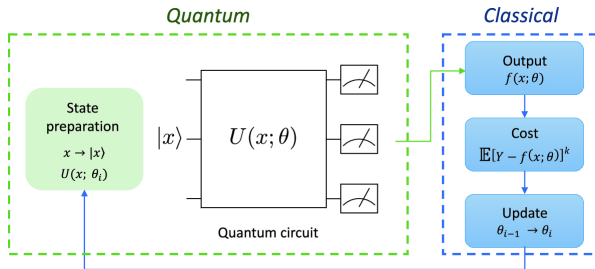


图: VQA 的基本流程

量子神经网络

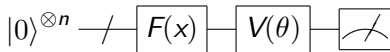


图: 量子神经网络示意图

- 组成: 编码线路 + 网络模型 + 观测
- 观测算子 \rightarrow 将观测结果映射到观测算子的不同特征值上, 数学形式为厄密算子, 例如 $Z = \begin{pmatrix} 1 & 0 \\ 0 & -1 \end{pmatrix}$
- 参数梯度估计 $\nabla_{\theta} E(\theta) = \frac{1}{2}[E(\theta + \frac{\pi}{2}) - E(\theta - \frac{\pi}{2})]$

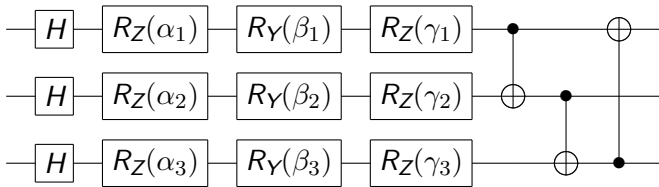


图: 隐藏层示意图

量子神经网络

基本编码方法

角度编码

- $x_i \rightarrow R_Y(x_i) |0\rangle = \begin{bmatrix} \cos \frac{x_i}{2} & -\sin \frac{x_i}{2} \\ \sin \frac{x_i}{2} & \cos \frac{x_i}{2} \end{bmatrix} \begin{bmatrix} 1 \\ 0 \end{bmatrix}$, $x_i \rightarrow R_Z(\arctan x_i^2) R_Y(\arctan x_i) H |0\rangle$
- **优势**: 可将输入特征展开到高维空间
- **缺点**: 占用的量子比特数与数据大小一致

振幅编码

- $|\psi\rangle = x_0 |00\dots 0\rangle + x_1 |00\dots 1\rangle + \dots + x_{2^n-1} |11\dots 1\rangle$
- **优势**: 利用量子的高效编码性
- **缺点**: 不能改变原始数据的特征分布

量子神经网络

简单二分类示例



- 记 $U(x, \theta) = R_Z(\theta_3)R_Y(\theta_2)R_Z(\theta_1)R_X(x)$, 则
 $U(x, \theta)^\dagger = R_X(x)^\dagger R_Z(\theta_1)^\dagger R_Y(\theta_2)^\dagger R_Z(\theta_3)^\dagger$

- 计算式

$$\begin{aligned} f_\theta(x) &= \langle 0 | U(x, \theta)^\dagger Z U(x, \theta) | 0 \rangle \\ &= \cos \theta_2 \cos x - \sin \theta_1 \sin \theta_2 \sin x \end{aligned}$$

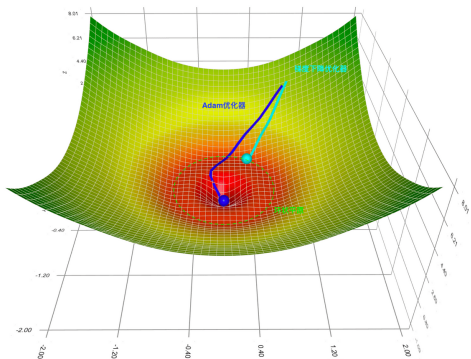
- 分类依据

$$y = \begin{cases} 1, f_\theta(x) > 0 \\ -1, f_\theta(x) < 0 \end{cases} \quad (1)$$

量子神经网络

可训练性

- 贫瘠高原现象：损失函数的优化曲面平坦，基于梯度下降法无法达到极小值
- 因素：初始参数、编码方法、网络结构、网络深度、观测算子、优化器



图：量子线路的“贫瘠高原”现象

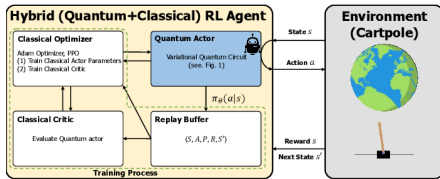
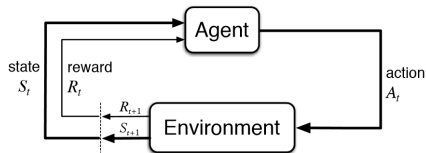
量子强化学习

经典强化学习

- 智能体基于状态 s_t ，利用策略 π 选择动作 a_t ，作用于环境并获得奖励 r_t
- 目标：最大化奖励 $R_t = \sum_{t'=t}^T \gamma^{t'-t} r_{t'}$

量子强化学习

- 变分量子线路替换智能体模型
- 状态 s_t 进行量子态编码

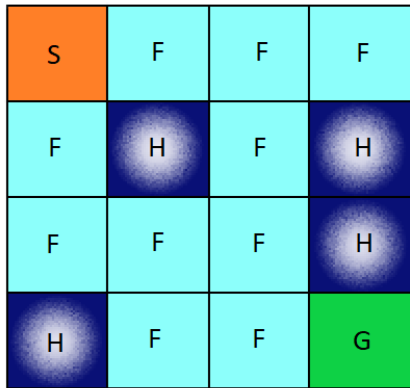


量子强化学习

强化学习示例

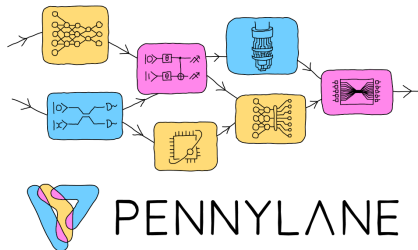
- 16 个离散状态
- 可行动作：向上、向下、向左、向右

位置	奖励
洞	-0.2
目标	1.0
其他	-0.01



编程框架与量子计算云平台

- 编程框架：
Python(Qiskit,PennyLane,Pytorch,Tensorflow...)
- 量子计算云平台：IBM Quantum Experience, Xanadu Cloud, ...
- 实验平台：理想量子模拟器、含噪量子模拟器、真实量子计算机



量子强化学习

日期	阶段性任务
2023 年 7 月-2023 年 8 月	量子计算理论基础（量子线路模型、变分量子算法）
2023 年 8 月-2023 年 9 月	Qiskit 或 PennyLane 框架，Pytorch 或 Tensorflow 框架，IBM Quantum Experience 云平台的学习，构建初步的量子-经典混合计算模型
2023 年 9 月-2023 年 10 月	以 Frozen Lake 离散状态环境为例，探究经典强化学习方法，构建初步的量子 Q-Learning 算法

The End